

Λύση ενός τέτοιου  $2 \times 2$  πίνακα είναι πολύ χρήσιμοι οι πίνακες Pauli τους οποίους ορίζουμε αμέσως παρακάτω.

Οι πίνακες Pauli είναι τρεις και συμβολίζονται ως  $\sigma_i$ , όπου  $i = 1, 2, 3$  (ή  $i = x, y, z$ ). Οι πίνακες αυτοί είναι unitary και Ερμιτιανοί, και συνεπώς έχουν τις εξής ιδιότητες:  $\sigma_i^\dagger = \sigma_i$  και  $\sigma_i^\dagger = \sigma_i^{-1}$ . Επιπλέον, οι πίνακες αυτοί έχουν μηδενικό ίχνος, δηλαδή  $\text{Tr}(\sigma_i) = 0$ , καθώς επίσης ισχύει ότι  $\sigma_i^2 = \mathbb{1}$ .

Μια επιπλέον ιδιότητα των πινάκων αυτών είναι ότι ικανοποιούν τη σχέση  $\text{Tr}[\sigma_i \sigma_j] = 2\delta_{ij}$ , ενώ ο μεταθετής ( $[A, B] \equiv AB - BA$ ) και ο αντιμεταθετής ( $\{A, B\} \equiv AB + BA$ ) των πινάκων αυτών γράφονται  $[ \sigma_i, \sigma_j ] = 2i \sum_{k=1}^3 \epsilon_{ijk} \sigma_k$  και  $\{ \sigma_i, \sigma_j \} = 2\delta_{ij} \mathbb{1}$ ,

αντίστοιχα. Παραπάνω, χρησιμοποιήσαμε το σύμβολο

λο Levi-Civita, το οποίο είναι ουσιαστικά ένας αντισυμμετρικός τανυστής για τον οποίο ισχύει

$$\epsilon_{ijk} = \begin{cases} +1, & \text{αν } (i,j,k), (j,k,i), (k,i,j) \\ -1, & \text{αν } (k,j,i), (j,i,k), (i,k,j) \\ 0, & \text{αν } i=j \text{ ή } j=k \text{ ή } k=i \end{cases}$$

δηλαδή δίνει αποτέλεσμα +1 για άρτιο αριθμό μεταθέσεων των δεικτών του, -1 για περιττό αριθμό μεταθέσεων και 0 για την περίπτωση όπου κάποιος δείκτης επαναλαμβάνεται. Συνολικά λοιπόν για τους πίνακες Pauli έχουμε

$$\sigma_i \sigma_j = \delta_{ij} \mathbb{1} + i \sum_{k=1}^3 \epsilon_{ijk} \sigma_k \quad (281)$$

Οι παραπάνω ιδιότητες των πινάκων Pauli ισχύουν για οποιαδήποτε βάση κι αν επιλέξουμε για να τους εκφράσουμε. Σε αυτή λοιπόν τη γενική βάση, και εφόσον έχουμε τρεις πίνακες Pauli, μπορούμε

να ορίσουμε το διάνυσμα Pauli  $\hat{\sigma} = \sigma_x \hat{e}_x + \sigma_y \hat{e}_y + \sigma_z \hat{e}_z$ , όπου  $\hat{e}_x, \hat{e}_y, \hat{e}_z$  τα καρτεσιανά διανύσματα βάσης του  $\mathbb{R}^3$ . Θυμίζοντας ότι το εξωτερικό γινόμενο δύο διανυσμάτων μπορεί να γραφεί με τη βοήθεια του συμβόλου Levi-Civita ως  $\vec{a} \times \vec{b} = \sum_{i,j,k=1}^3 \epsilon_{ijk} a_i b_j \hat{e}_k$ , τότε μπορούμε με τη βοήθεια του διανύσματος Pauli [δείτε και την εξ. (281)]

$$(\vec{\sigma} \cdot \vec{a})(\vec{\sigma} \cdot \vec{b}) = (\vec{a} \cdot \vec{b}) \mathbb{1} + i \vec{\sigma} (\vec{a} \times \vec{b}) \quad (282)$$

Αν τώρα, αντί για τυχαία διανύσματα  $\vec{a}$  και  $\vec{b}$  έχουμε ένα μοναδιαίο διάνυσμα  $\hat{e}$ , τότε θα ήταν

$$(282) \Rightarrow (\vec{\sigma} \cdot \hat{e})(\vec{\sigma} \cdot \hat{e}) = (\hat{e} \cdot \hat{e}) \mathbb{1} + i \vec{\sigma} (\hat{e} \times \hat{e}) = \mathbb{1},$$

όπου  $\hat{e}$  οποιοδήποτε μοναδιαίο διάνυσμα. Επομένως, με βάση τα παραπάνω, η ποσότητα  $e^{i\theta \hat{e} \cdot \vec{\sigma}}$

μπορεί να γραφτεί

$$\begin{aligned} e^{i\theta(\hat{e}\cdot\vec{\sigma})} &= \mathbb{1} + i\theta(\hat{e}\cdot\vec{\sigma}) - \frac{1}{2}\theta^2 \underbrace{(\hat{e}\cdot\vec{\sigma})^2}_{=\mathbb{1}} - \frac{1}{3!}i\theta^3 \underbrace{(\hat{e}\cdot\vec{\sigma})^3}_{=\hat{e}\cdot\vec{\sigma}} + \dots \\ &= (\cos\theta)\mathbb{1} + i(\sin\theta)\hat{e}\cdot\vec{\sigma} \end{aligned} \quad (283)$$

όπου χρησιμοποιήσαμε τις σειρές Taylor ημιτόνου, συνημιτόνου και εκθετικής συνάρτησης. Το διάνυσμα Pauli λοιπόν, μας βοηθάει να περιγράψουμε οποιαδήποτε στροφή πάνω σε μία μοναδιαία σφαίρα [ δείτε και εφ. (3.26) στις σημειώσεις "Ειδικά θέματα κβαντομηχανικής" ].

Αν τώρα χρησιμοποιήσουμε την ορθοκανονική βάση  $B = \{ |0\rangle, |1\rangle \}$  για να εκφράσουμε τους πίνακες Pauli, τότε θα έχουμε

$$\sigma_x = \begin{pmatrix} 0 & 1 \\ 1 & 0 \end{pmatrix} = |0\rangle\langle 1| + |1\rangle\langle 0| \quad (284a)$$

$$\sigma_y = \begin{pmatrix} 0 & -i \\ i & 0 \end{pmatrix} = -i (|0\rangle\langle 1| - |1\rangle\langle 0|) \quad (284b)$$

$$\sigma_z = \begin{pmatrix} 1 & 0 \\ 0 & -1 \end{pmatrix} = |0\rangle\langle 0| - |1\rangle\langle 1| \quad (284c)$$

Στη συνέχεια, θα δούμε την εφαρμογή των αν-  
 νάκων Pauli πάνω στα διανύσματα βάσης  $|0\rangle =$   
 $= \begin{pmatrix} 1 \\ 0 \end{pmatrix}$  και  $|1\rangle = \begin{pmatrix} 0 \\ 1 \end{pmatrix}$ . Ξεκινώντας από τον  $\sigma_x$

έχουμε ότι

$$\sigma_x |0\rangle = (|0\rangle\langle 1| + |1\rangle\langle 0|) |0\rangle = |1\rangle,$$

$$\sigma_x |1\rangle = (|0\rangle\langle 1| + |1\rangle\langle 0|) |1\rangle = |0\rangle.$$

δηλαδή ο πίνακας  $\sigma_x$  μας πηγαίνει από τη μια  
 κατάσταση του qubit στην άλλη (bit flip). Ο-

σο αναφορά τον  $\sigma_y$  είναι

$$\sigma_y |0\rangle = -i (|0\rangle\langle 1| - |1\rangle\langle 0|) |0\rangle = i |1\rangle$$



$$\sigma_y |1\rangle = -i(|0\rangle\langle 1| - |1\rangle\langle 0|) |1\rangle = -i|0\rangle,$$

δηλαδή με τον  $\sigma_y$  έχουμε μετάβαση από τη μία κατάσταση στην άλλη, αλλά έχουμε επιπλέον και μια εισαγωγή φάσης  $\pm i$ . Τέλος, για τον  $\sigma_z$  έχουμε

$$\sigma_z |0\rangle = (|0\rangle\langle 0| - |1\rangle\langle 1|) |0\rangle = |0\rangle,$$

$$\sigma_z |1\rangle = (|0\rangle\langle 0| - |1\rangle\langle 1|) |1\rangle = -|1\rangle,$$

όπου βλέπουμε ότι ο τελεστής  $\sigma_z$  αφήνει ανεπηρέαστο το διάνυσμα  $|0\rangle$  ενώ προσθέτει μια φάση  $-1$  στο διάνυσμα  $|1\rangle$  (ουσιαστικά τα διανύσματα  $|0\rangle$  και  $|1\rangle$  είναι ιδιοδιανύσματα του  $\sigma_z$ ).

Παρατηρούμε λοιπόν ότι με τη χρήση των πινάκων

Pauli μπορούμε να παραχρηματώσουμε τους στοιχειώδεις μετασχηματισμούς (μετάβαση από τη μία κατάσταση στην άλλη και εισαγωγή φάσης) στις κατα-

στάσεις ενός qubit. Στον κλάδο της Πληροφορικής στην κλασική φυσική, υπεύθυνες για τέτοιες στοιχειώδεις μετατροπές ενός bit (π.χ.  $0 \rightarrow 1$ ) είναι οι λεγόμενες λογικές πύλες. Στον κλάδο της Κβαντικής Πληροφορικής τώρα, οι πίνακες Pauli μπορούν να αποτελέσουν τη βάση για των ορισμένων λεγόμενων κβαντικών πυλών, οι οποίες αποτελούν το κβαντικό ανάλογο των λογικών πυλών.

Στην Κβαντική Πληροφορική λοιπόν, όπως είδαμε η γνώση των πράξεων με πίνακες είναι αναγκαία. Μιας και για να εφαρμόσουμε ένα μετασχηματισμό, έναν πίνακα δηλαδή, σε μία τυχαία χρονική στιγμή στην κατάσταση ενός qubit, είναι πολύ βολικό να εκφράσουμε την κατάσταση του

qubit με τη βοήθεια ενός πίνακα. Ο πίνακας αυτός ονομάζεται πίνακας πυκνότητας, συμβολίζεται με  $\rho$  και είναι ένας διαφορετικός τρόπος να εκφράσουμε την κατάσταση ενός qubit. Η μεθοδολογία του πίνακα πυκνότητας δεν εφαρμόζεται μόνο στα qubits, αλλά είναι μια γενική μεθοδολογία που μπορούμε να αναπτύξουμε για κάθε κβαντικό σύστημα και μπορεί να εφαρμοστεί σε κάθε κλάδο της κβαντικής φυσικής (όχι κάνουμε στην κβαντική Οπτική με τα πλάτη πιθανότητας, θα μπορούσαμε να το κάνουμε ισοδύναμα και με τον πίνακα πυκνότητας).

Εστω λοιπόν ότι έχουμε ένα κβαντικό σύστημα που περιγράφεται από την ορθοκανονική βάση



ση  $B = \{ |1\rangle, |2\rangle, \dots \}$ . Η κατάσταση του συστήματος σε μια τυχαία χρονική στιγμή  $t$  μπορεί να γραφεί, όπως γνωρίζουμε,

$$|\psi(t)\rangle = \sum_n a_n(t) |n\rangle \quad (285)$$

Αν η  $|\psi(t)\rangle$  είναι κανονικοποιημένη, τότε

$$\begin{aligned} \langle \psi(t) | \psi(t) \rangle &= \sum_n \sum_m a_n(t) a_m^*(t) \langle m | n \rangle = \\ &= \sum_n \sum_m a_n(t) a_m^*(t) \delta_{mn} = \\ &= \sum_n |a_n(t)|^2 = 1 \end{aligned} \quad (286)$$

Τώρα, η μέση (αναμενόμενη) τιμή ενός τελεστή  $\hat{Q}$  σε χρόνο  $t$  θα είναι

$$\begin{aligned} \langle \hat{Q}(t) \rangle &= \langle \psi(t) | \hat{Q} | \psi(t) \rangle = \sum_n \sum_m a_m^*(t) a_n(t) \langle m | \hat{Q} | n \rangle = \\ &= \sum_n \sum_m a_m^*(t) a_n(t) Q_{mn} = \sum_{n,m} a_m^*(t) a_n(t) Q_{mn} \end{aligned} \quad (287)$$

όπου  $Q_{mn} = \langle m | \hat{Q} | n \rangle$ .

Σύμφωνα με τα παραπάνω, ορίζουμε τον τελεστή

$$\rho(t) = |\psi(t)\rangle \langle \psi(t)|, \quad (288)$$

όπου ο τελεστής αυτός θα έχει στοιχεία μήτρας

$$\begin{aligned} \rho_{mn}(t) &\equiv \langle m | \rho(t) | n \rangle = \langle m | \psi(t) \rangle \langle \psi(t) | n \rangle = \\ &= \langle m | \left( \sum_p a_p(t) | p \rangle \right) \left( \sum_q a_q^*(t) \langle q | \right) | n \rangle = \\ &= \sum_p a_p(t) \underbrace{\langle m | p \rangle}_{\delta_{mp}} \sum_q a_q^*(t) \underbrace{\langle q | n \rangle}_{\delta_{qn}} = \\ &= a_m(t) a_n^*(t) \Rightarrow \end{aligned}$$

$$\Rightarrow \rho_{mn}(t) = a_m(t) a_n^*(t) \quad (289).$$

Ο τελεστής  $\rho(t) = |\psi(t)\rangle \langle \psi(t)|$  που ορίσαμε παραπάνω ονομάζεται πίνακας πυκνότητας (density matrix) ή τελεστής πυκνότητας (density operator).

Μπορούμε να ξαναγράψουμε τον πίνακα πυκνότητας

ως

$$\rho(t) = |\psi(t)\rangle\langle\psi(t)| = \sum_{n,m} a_n(t) a_m^*(t) |n\rangle\langle m| \Rightarrow$$

$$\Rightarrow \rho(t) = \sum_{n,m} \rho_{nm}(t) |n\rangle\langle m| = \rho^\dagger(t) \quad (290)$$

Από την εξ. (286) τώρα, και σύμφωνα με τα παραπάνω, έχουμε ότι

$$\sum_n |a_n(t)|^2 = 1 \Rightarrow \sum_n \rho_{nn}(t) = 1 \Rightarrow \text{Tr}[\rho(t)] = 1 \quad (291)$$

δηλαδή το ίχνος του πίνακα πυκνότητας θα ισούται πάντα με τη μονάδα. Αυτό είναι κάτι το οποίο θα ήπρεπε να αναμένουμε μιας και τα διαγώνια στοιχεία του πίνακα πυκνότητας αντιστοιχούν στις πιθανότητες των εκάστοτε καταστάσεων

σεις οποίες μπορεί να βρεθεί το σύστημα μας.

Προφανώς, το άθροισμα όλων των πιθανοτήτων

θα ισούται με μονάδα. Επομένως, για τα διαγώνια

στοιχεία μπορούμε να γράψουμε

$$p_{nn}(t) = a_n(t) a_n^*(t) = |a_n(t)|^2 \quad (292)$$

όπου η ποσότητα  $p_{nn}(t)$  ονομάζεται πιθανότητα της κατάστασης  $|n\rangle$ .

Όσο αναφορά τα μη-διαγώνια στοιχεία του πίνακα

πυκνότητας, αυτά γράφονται

$$p_{mn}(t) = a_m(t) a_n^*(t) \quad (293)$$

και περιγράφουν υπερθέσεις των κβαντικών κατα-

στάσεων  $|n\rangle$  και  $|m\rangle$  λόγω της αλληλεπίδρασης του

συστήματός μας με το περιβάλλον του. Για ένα

ατιορονωμένο σύστημα τα μη-διαγώνια στοι-  
 χεία του πίνακα πυκνότητας θα είναι μηδενικά  
 και έτσι ο πίνακας πυκνότητας θα είναι διαγώνιο-  
 ποιημένος, όπου το κάθε στοιχείο της διαγωνι-  
 ου του θα μας δίνει τον πληθυσμό της εκάστο-  
 τε κατάστασης. Αν, όμως, το σύστημα μας αλ-  
 ληλετινά με το περιβάλλον του (όπως π.χ.  
 ένα qubit με ένα ηλεκτρικό πεδίο), τότε τα μη-  
 διαγώνια στοιχεία του πίνακα πυκνότητας θα είναι  
 μη-μηδενικά και θα περιέχουν πληροφορία σχε-  
 τικά με την αλληλεπίδραση του συστήματός μας με το  
 περιβάλλον του (στην περίπτωση μας του qubit  
 με το ηλεκτρικό πεδίο  $\rightarrow$  θυμηθείτε επίσης ότι  
 για την περίπτωση αυτή θεωρήσαμε  $H_{int} = -\vec{p}_z \cdot \vec{E}$ ,



δηλαδή η χαριζονιανή αλίση "επάχει" μια σύ-  
 ζευξη μεταξύ των καταστάσεων  $|1\rangle$  και  $|2\rangle$  και  
 επομένως αυτή η αλίση θα περιέχεται στα μη-  
 διαγώνια στοιχεία  $\rho_{12}(t)$  και  $\rho_{21}(t)$ . Για το λόγο  
 αυτό λέμε ότι τα μη-διαγώνια στοιχεία συνδέ-  
 ονται με τις οπτικές ιδιώτητες του συστήματος  
 που οι οποίες προφανώς προκύπτουν από την αλ-  
 ληλεπίδραση του συστήματος με Η/Μ ακτινο-  
 βολία.

Επιπλέον, όπως ίσως είναι προφανές από τα παρα-  
 πάνω, τα διαγώνια και τα μη-διαγώνια στοιχεία  
 του πίνακα πυκνότητας παίρνουν τιμές μεταξύ  
 του 0 και του 1, δηλαδή  $0 \leq \rho_{mn}(t) \leq 1 \quad \forall m, n$ .

Επίσης, από την εφ. (293) προκύπτει για τα μη-  
 διαγώνια στοιχεία ότι  $\rho_{mn}(t) = \rho_{nm}^*(t)$ .

Τώρα, θεωρίζοντας ότι στην αναπαράσταση μητρικών έχουμε

$$|\psi(t)\rangle \rightarrow \begin{pmatrix} a_1(t) \\ a_2(t) \\ \vdots \end{pmatrix}, \quad \langle \psi(t)| \rightarrow (a_1^*(t) \ a_2^*(t) \ \dots)$$

τότε ο πίνακας πυκνότητας γράφεται

$$\rho(t) = |\psi(t)\rangle \langle \psi(t)| = \begin{pmatrix} a_1(t) \\ a_2(t) \\ \vdots \end{pmatrix} (a_1^*(t) \ a_2^*(t) \ \dots) \Rightarrow$$

$$\Rightarrow \rho(t) = \begin{pmatrix} \overset{\rho_{11}(t)}{|a_1(t)|^2} & \overset{\rho_{12}(t)}{a_1(t)a_2^*(t)} & \dots \\ \underset{\rho_{21}(t)}{a_2^*(t)a_1(t)} & \underset{\rho_{22}(t)}{|a_2(t)|^2} & \dots \\ \vdots & \vdots & \ddots \end{pmatrix} \quad (294)$$

Για μία καθαρή κατάσταση, όπως η  $|\psi(t)\rangle$  που έχουμε παραπάνω, ο πίνακας πυκνότητας έχει την επιπλέον ιδιότητα

$$\rho^2(t) = |\psi(t)\rangle \underbrace{\langle \psi(t)| |\psi(t)\rangle}_{=1} \langle \psi(t)| = |\psi(t)\rangle \langle \psi(t)| = \rho(t) \quad (295)$$

Κλείνοντας, θα συμπρωσουμε άλλες δύο παρατηρήσεις για τον πίνακα πυκνότητας. Αν  $\hat{Q}$  είναι τελεστής, τότε η μέση τιμή του σε χρόνο  $t$  θα είναι [δείτε και την εξ. (287)]

$$\langle \hat{Q}(t) \rangle = \sum_{n,m} a_m^*(t) a_n(t) Q_{mn} = \sum_{n,m} \rho_{nm}(t) Q_{mn} \Rightarrow$$

$$\Rightarrow \langle \hat{Q}(t) \rangle = \sum_n [\rho(t) Q]_{nn} = \text{Tr} [\rho(t) Q] \quad (296)$$

δηλαδή για να βρούμε την μέση τιμή του μεγέθους  $\hat{Q}$  παίρνουμε το ίχνος του γινόμενου του πίνακα πυκνότητας  $\rho(t)$  με τον πίνακα  $Q$ .

Τέλος, για να βρούμε την εξίσωση χρονικής εξέλιξης για τον πίνακα πυκνότητας ξεκινάμε από την χρονικά εξαρτημένη εξίσωση Schrödinger η οποία μας δίνει

$$i\hbar \frac{\partial}{\partial t} |\psi(t)\rangle = \hat{H}(t) |\psi(t)\rangle \Rightarrow \frac{\partial}{\partial t} |\psi(t)\rangle = -\frac{i}{\hbar} \hat{H}(t) |\psi(t)\rangle$$

και παίρνοντας το Ερμιτιανό συζυγές της παραπάνω εξίσωσης έχουμε (θυμίζουμε  $(AB)^{\dagger} = B^{\dagger}A^{\dagger}$ )

$$-i\hbar \frac{\partial}{\partial t} \langle \psi(t)| = \langle \psi(t)| \underbrace{\hat{H}^{\dagger}(t)}_{=\hat{H}(t)} \Rightarrow \frac{\partial}{\partial t} \langle \psi(t)| = \frac{+i}{\hbar} \langle \psi(t)| \hat{H}(t)$$

Χρησιμοποιώντας τις παραπάνω εξισώσεις, παίρνουμε για τον πίνακα πυκνότητας ότι

$$\frac{\partial}{\partial t} \rho(t) = \left( \frac{\partial}{\partial t} |\psi(t)\rangle \right) \langle \psi(t)| + |\psi(t)\rangle \left( \frac{\partial}{\partial t} \langle \psi(t)| \right) \Rightarrow$$

$$\Rightarrow \frac{\partial}{\partial t} \rho(t) = -\frac{i}{\hbar} \hat{H}(t) \underbrace{|\psi(t)\rangle \langle \psi(t)|}_{=\rho(t)} + \frac{i}{\hbar} \underbrace{|\psi(t)\rangle \langle \psi(t)|}_{=\rho(t)} \hat{H}(t) \Rightarrow$$

$$\Rightarrow \frac{\partial}{\partial t} \rho(t) = -\frac{i}{\hbar} [\hat{H}(t) \rho(t) - \rho(t) \hat{H}(t)] \Rightarrow$$

$$\Rightarrow \frac{\partial}{\partial t} \rho(t) = -\frac{i}{\hbar} [\hat{H}(t), \rho(t)]$$

Η παραπάνω εξίσωση είναι πολύ σημαντική μιας και μας δίνει τη χρονική εξέλιξη του πίνακα πυκνότητας. Ουσιαστικά, η εξ. (296) παίζει το ρόλο της εξίσωσης Schrödinger στην εικόνα Heisenberg.

Συνοψίζοντας λοιπόν για τον πίνακα πυκνότητας έχουμε τις εξής ιδιότητες: i)  $\rho = \rho^\dagger$ , ii)  $\text{Tr}[\rho] = 1$ , iii)  $\rho^2 = \rho$ , και iv)  $\text{Tr}[\rho^2] = 1$ . Οι ιδιότητες αυτές ισχύουν για την περίπτωση όπου έχουμε μία καθαρή κατάσταση. (σημειώνουμε ότι για τις μεικτές καταστάσεις, οι οποίες είναι οι γενικότερες δυνατές στην κβαντομηχανική, ισχύει ότι  $\rho^2 \neq \rho$  και επομένως  $\text{Tr}[\rho^2] \neq 1$ , και πιο συγκεκριμένα  $\text{Tr}[\rho^2] < 1$ ).

Αφού ορίσαμε τον πίνακα πυκνότητας, ας δούμε



πως μπορούμε να τον εκμεταλλευτούμε για να περιγράψουμε την κατάσταση ενός qubit.

Είδαμε παραπάνω ότι τα διαγώνια στοιχεία του πίνακα πυκνότητας σχετίζονται με τον πληθυσμό της εκάστοτε κατάστασης, ενώ τα μη-διαγώνια στοιχεία σχετίζονται με την αλληλογραφία του συστήματος με το περιβάλλον του. Επομένως, τα διαγώνια στοιχεία του πίνακα πυκνότητας θα είναι πάντοτε πραγματικά, ενώ τα μη-διαγώνια θα είναι εν γένει μιγαδικά. Έτσι λοιπόν, ο πίνακας πυκνότητας ενός qubit, ο οποίος είναι ένας  $2 \times 2$  πίνακας μιας και το qubit έχει δύο πιθανές καταστάσεις, θα γράφεται στη γενική του μορφή ως

$$\rho = \begin{pmatrix} z & x - iy \\ x + iy & 1 - z \end{pmatrix} \quad (297)$$

όπου  $x, y, z \in \mathbb{R}$ . Μιας και η μόνη απαίτηση για τα διαγώνια στοιχεία είναι το άθροισμά τους να ισούται με την μονάδα, τότε για λόγους συμπιεσίας μπορούμε να αναδιατάξουμε την εξ. (297) και να γράψουμε ότι

$$\rho = \begin{pmatrix} \frac{1}{2} + z & x - iy \\ x + iy & \frac{1}{2} - z \end{pmatrix} \quad (298)$$

Στη συνέχεια, αναλύοντας την εξ. (298) παίρνουμε

$$\rho = \begin{pmatrix} \frac{1}{2} + z & x - iy \\ x + iy & \frac{1}{2} - z \end{pmatrix} = \begin{pmatrix} \frac{1}{2} + z & 0 \\ 0 & \frac{1}{2} - z \end{pmatrix} + \begin{pmatrix} 0 & x - iy \\ x + iy & 0 \end{pmatrix}$$

$$= \frac{1}{2} \underbrace{\begin{pmatrix} 1 & 0 \\ 0 & 1 \end{pmatrix}}_{\mathbb{1}} + z \underbrace{\begin{pmatrix} 1 & 0 \\ 0 & -1 \end{pmatrix}}_{\sigma_z} + x \underbrace{\begin{pmatrix} 0 & 1 \\ 1 & 0 \end{pmatrix}}_{\sigma_x} + y \underbrace{\begin{pmatrix} 0 & -i \\ i & 0 \end{pmatrix}}_{\sigma_y} \Rightarrow$$

$$\Rightarrow \rho = \frac{1}{2} \mathbb{1} + (x \sigma_x + y \sigma_y + z \sigma_z) \Rightarrow$$

$$\Rightarrow \rho = \frac{1}{2}(\mathbb{1} + \vec{r} \cdot \vec{\sigma}) \quad (299)$$

όπου  $\vec{\sigma} = (\sigma_x, \sigma_y, \sigma_z)$  το διάνυσμα Pauli καθώς και  $\vec{r} = (x, y, z)$ . Μιας και τα  $x, y, z$  είναι τυχαία βγάλουμε ως κοινό παράγοντα το  $1/2$  θεωρώντας ότι ο επιπλέον παράγοντας περιλαμβάνεται στον ορισμό των  $x, y, z$  (το γιατί το κάναμε αυτό θα φανεί στη συνέχεια). Η εξ. (299) είναι ουσιαστικά ο γενικότερος τρόπος για να εκφράσουμε έναν πίνακα  $2 \times 2$  ο οποίος είναι Ερμιτιανός ( $\rho = \rho^\dagger$ ) και έχει ίχνος μονάδα ( $\text{Tr}[\rho] = 1$ ). Τώρα, μιας και για το ίχνος ενός τελεστή  $\hat{A}$  ισχύει η ιδιότητα  $\text{Tr}[\hat{A}|\psi\rangle\langle\psi|] = \langle\psi|\hat{A}|\psi\rangle$ , τότε έχουμε για το

διάνυσμα  $\vec{r}$  της εξ. (299) ότι

$$\vec{r} = \text{Tr} [\rho \vec{\sigma}] \quad (300)$$

Για την περίπτωση όπου έχουμε μια καθαρή κατάσταση, δηλαδή  $\rho = |\psi\rangle\langle\psi|$ , θα είναι  $\vec{r} = \langle\psi|\vec{\sigma}|\psi\rangle$ .

Επίσης, θυμίζουμε ότι ισχύει  $\rho^2 = \rho$  και  $\text{Tr}[\rho^2] = \text{Tr}[\rho]$ . Εκφραζόμενοι και ως ιδιοτιμές

των πινάκων Pauli παίρνουμε

$$\text{Tr}[\rho^2] = \frac{1}{4} \text{Tr}[(\mathbb{1} + \vec{r} \cdot \vec{\sigma})^2] = \frac{1}{4} \text{Tr}[\mathbb{1} + 2\vec{r} \cdot \vec{\sigma} + (\vec{r} \cdot \vec{\sigma})^2]$$

$$= \frac{1}{4} (\text{Tr}[\mathbb{1}] + 2\text{Tr}[\vec{r} \cdot \vec{\sigma}] + \text{Tr}[(\vec{r} \cdot \vec{\sigma})^2]) =$$

$$= \frac{1}{4} (2 + \sum_{i=1}^3 \text{Tr}[r_i \sigma_i] + \text{Tr}[\sum_{i=1}^3 \sum_{j=1}^3 r_i r_j \sigma_i \sigma_j]) =$$

$$= \frac{1}{4} (2 + \sum_{i=1}^3 r_i \text{Tr}[\sigma_i] + \sum_{i=1}^3 \sum_{j=1}^3 r_i r_j \text{Tr}[\sigma_i \sigma_j]) =$$

$$= \frac{1}{4} (2 + 2|\vec{r}|^2) = \frac{1}{2} (1 + |\vec{r}|^2)$$

Όπως, είδαμε ότι για μια καθαρή κατάσταση ισχύει ότι  $\text{Tr}[\rho^2] = 1$  (για μικτή  $\text{Tr}[\rho^2] < 1$ ),

και έτσι από την παραπάνω σχέση συμπεραίνουμε ότι  $|\vec{r}|^2 = 1$ . Επιπλέον, σημειώστε ότι από

το γεγονός ότι  $|\vec{r}|^2 = 1 \Rightarrow |\vec{r}| = 1$  και από την εξ.

(300) έχουμε

$$\vec{r} = \text{Tr}[\rho \vec{\sigma}] = \langle \psi | \vec{\sigma} | \psi \rangle \Rightarrow \vec{r} \cdot \vec{r} = 1 = \langle \psi | \vec{r} \cdot \vec{\sigma} | \psi \rangle \Rightarrow$$

$$\Rightarrow \vec{r} \cdot \vec{\sigma} | \psi \rangle = | \psi \rangle \quad (301)$$

Συνοψίζοντας τα παραπάνω αποτελέσματα βρίσκουμε ότι αν  $|\psi\rangle$  είναι ένα νορμαλισμένο διάνυσμα

το οποίο περιγράφει την κατάσταση ενός qubit,

τότε η αναμενόμενη τιμή του διανύσματος Pauli

είναι  $\vec{r} = \langle \psi | \vec{\sigma} | \psi \rangle$ .



$\langle \psi | \vec{\sigma} | \psi \rangle$  είναι απλά ένα διάνυσμα  $\vec{r} \in \mathbb{R}^3$  με  $|\vec{r}| = 1$ . Επιπλέον, το  $|\psi\rangle$  είναι ιδιοδιάνυσμα του τελεστή  $\vec{r} \cdot \vec{\sigma}$  με ιδιοτιμή  $+1$ .

Από το γεγονός λοιπόν ότι  $(300) \Rightarrow \vec{r} = \text{Tr}[\rho \vec{\sigma}] \Rightarrow \vec{r} = \langle \psi | \vec{\sigma} | \psi \rangle$ , προκύπτει ότι για την εκάστοτε

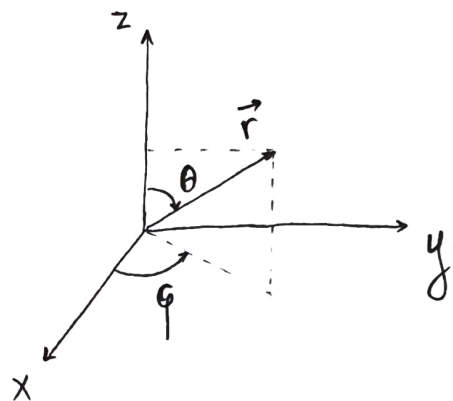
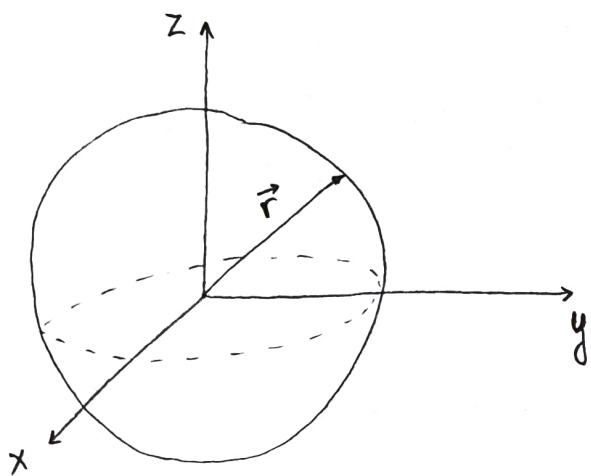
κατάσταση  $|\psi\rangle$  ενός qubit μπορούμε να αντιστοιχίσουμε κάθε φορά ένα μοναδιαίο διάνυσμα  $\vec{r}$ . Με

άλλα λόγια μπορούμε να απεικονίσουμε μία τυχαία κατάσταση  $|\psi\rangle$  ενός qubit πάνω σε μία μοναδιαία

σφαίρα, όπως φαίνεται παρακάτω. Η σφαίρα αυτή ονομάζεται σφαίρα Bloch και στην επιφάνειά

της μπορούμε να απεικονίσουμε κάθε καθαρή κατά-

σταση ενός qubit. Στη σφαίρα Bloch, εκτός από



την κατάσταση ενός qubit, μπορούμε να δούμε με έναν παραστατικό τρόπο πώς αυτή η κατάσταση μεταβάλλεται δρώντας με ένα unitary τελεστή  $\hat{U}$  πάνω στην αρχική κατάσταση, δηλαδή  $|\psi'\rangle = \hat{U}|\psi\rangle$ . Η νέα κατάσταση  $|\psi'\rangle$  θα παριστάνεται από ένα άλλο σημείο πάνω στην σφαίρα Bloch μας και στην κατάσταση αυτή θα αντιστοιχεί ένα νέο μοναδιαίο διάνυσμα  $\vec{r}' = \langle \psi' | \vec{\sigma} | \psi' \rangle$ . Επομένως